

# ژئوشیمی رادیو ایزوتوپ‌ها Sm–Nd و Rb–Sr و تعیین منشأ لیکوگرانیت‌های خواجه مراد، مشهد، ایران

محمد حسن کریم پور<sup>۱\*</sup>، لک فارموده<sup>۲</sup> و چاک استون<sup>۳</sup>

<sup>۱</sup> گروه پژوهشی اکتشاف ذخایر معدنی خاور ایران، دانشگاه فردوسی مشهد، مشهد، ایران

<sup>۲</sup> گروه زمین‌شناسی دانشگاه کلرادو، بولدر، امریکا

تاریخ دریافت: ۱۳۸۸/۰۸/۲۳

## چکیده

بیوتیت مسکوویت لیکوگرانیت و پگماتیت‌های همراه در متافیولیت و متافیلیش‌ها (بقایای پوسته اقیانوسی پالٹوپیتس) همزمان با برخورد صفحه ایران با صفحه توران نفوذ نموده‌اند. چهار نوع دایک پگماتیتی که بیوتیت مسکوویت لیکوگرانیت‌ها را قطعه کرده‌اند، شناسایی شدند. با استفاده از روش U-Pb سن زیرکن، بیوتیت مسکوویت لیکوگرانیت  $4.1 \pm 0.9$  Ma تعیین شد (راتین، ترباس بالایی). بیوتیت مسکوویت لیکوگرانیت و آپلت‌گرانیت از نظر شیمیایی، فوق آلومینیم و گرانیت نوع S است. عدد پذیرفتاری مغناطیسی بیوتیت مسکوویت لیکوگرانیت و آپلت‌گرانیت میان  $11 \times 10^5$  تا  $11 \times 10^6$  SI است، بنابراین مربوط به سری ایلمینیت (نوع کاهیده) هستند. مجموع عناصر کمیاب خاکی بیوتیت مسکوویت لیکوگرانیت میان ۵۰ تا ۷۶٪ است. Eu/Eu\* برابر  $0.76 \pm 0.52$  نشان می‌دهد. نسبت ایزوتوپ اولیه  $^{87}\text{Sr}/^{86}\text{Sr}$  و  $^{143}\text{Nd}/^{144}\text{Nd}$  با توجه به سن ۲۰۵ میلیون سال محاسبه شد. نسبت ایزوتوپ اولیه  $^{87}\text{Sr}/^{86}\text{Sr}$  در بیوتیت مسکوویت لیکوگرانیت و آپلت‌گرانیت به ترتیب  $0.708161 \pm 0.00003$  و  $0.709853 \pm 0.00003$  بوده است. نسبت  $i(^{143}\text{Nd}/^{144}\text{Nd})$  اولیه در بیوتیت مسکوویت لیکوگرانیت  $0.512214 \pm 0.00000$  و در دایک آپلت‌گرانیت  $0.512024 \pm 0.00000$  بوده است. میزان ایزوتوپ اولیه Nd در بیوتیت مسکوویت لیکوگرانیت  $6.48 \pm 0.06$  است. بر اساس داده‌های ایزوتوپی مگماک اولیه از پوسته قاره‌ای منشأ گرفته است. به توجه به نسبت‌های Rb/Sr برابر  $1 \pm 0.3$  و  $\text{CaO}/\text{Na}_2\text{O} = 0.3 \pm 0.03$  در بیوتیت مسکوویت لیکوگرانیت ترکیب سنگ منشأ بین متابلت و متابامت بوده است.

**کلیدواژه‌ها:** U-Pb، زیرکن، لیکوگرانیت، سری ایلمینیت و پذیرفتاری مغناطیسی و پگماتیت

\*نویسنده مسئول: محمد حسن کریم پور

E-mail: mhkarimpour@yahoo.com

## -۱ مقدمه

قطع شدگی صحرایی و سن نسبی مشخص شد که سن‌های به دست آمده از روش پتاسیم-آرگون یعنی  $145 \pm 3$  میلیون سال (اوخر ژوراسیک- اوایل کرتاسه) (Alberti et al., 1973) جوان‌تر از سن چینه‌شناختی نشان داده شده برای توده‌های نفوذی گرانیتی است. همچنین مشخص شد که نظر دقیقی بر اساس روش U-Pb بر روی کانی زیرکن فراهم شده و نیز اطلاعات ایزوتوپی رادیوژنیک جدیدی ارائه گردیده که بر پایه آن زمین‌ساخت دیرین و منشائنسنگی (پتروژنز) لیکوگرانیت پالٹوپیتس خواجه مراد تفسیر می‌شود.

## -۲ زمین‌شناسی ناحیه‌ای

براساس پژوهش‌های Sampfli & Pillevuit (1993; 2002)، Stampfli (1996; 2000)، Stampfli et al. (1991) شواهد خوبی در البرز و سایر نقاط ناحیه وجود دارد که اقیانوس پالٹوپیتس در سیلورین باز شده است (صفحه ایران از توران جدا شده است). در اوخر پالٹوپیتس یا در اوایل ترباس، صفحه ایران به‌وسیله باز شدن اقیانوس نئوتیس از صفحه عربی دور شد و خردقاره ایران با صفحه توران برخورد کرد. در اوخر ترباس (حدود  $225 \pm 3$  میلیون سال پیش) پالٹوپیتس دیگر وجود نداشته است (Stampfli, 1996; 2002; Sampfli and Pillevuit, 1993; Stampfli et al., 1991; Davoudzadeh and Schmidt, 1984).

فرارانش متافیولیت و متافیلیش پالٹوپیتس و جایگیری آنها روی حاشیه خردقاره ایران باید پیش از اوخر ترباس انجام شده باشد (Stampfli, 1996; 2002; Sampfli and Pillevuit, 1993; Stampfli et al., 1991; Alavi, 1992; Stocklin (1974) Alavi (1992) و Davoudzadeh & Schmidt, 1984).

منطقه مورد مطالعه در شمال خاوری ایران میان طول‌های جغرافیایی  $15^\circ 15' \pm 5^\circ 45'$  و  $36^\circ 30' \pm 45^\circ 59'$  و عرض‌های جغرافیایی  $36^\circ 30' \pm 45^\circ 59'$  قرار گرفته است (شکل ۱). کوه‌های بینالود بخشی از باقیمانده پالٹوپیتس (متافیولیت و متافیلیش) است که توده بیوتیت مسکوویت لیکوگرانیت در آن نفوذ کرده است. کوه‌های بینالود در جنوب و باخترا شهر مشهد قرار گرفته و بخش‌های باخترا و جنوبی این شهر بر روی باقیمانده پالٹوپیتس و توده‌های نفوذی جوان‌تر ساخته شده است. (Jarchowski et al., 1973) کانی‌شناسی گرانیت، دیوریت، افولیت و سنگ‌های دگرگون شده ناحیه بینالود را برای اولین بار بررسی کردند. بررسی‌های سنگ‌نگاری اولیه گرانیت مشهد توسط Alberti and Moazae (1974) انجام شده است. تعیین سن به روش پتاسیم-آرگون روی کانی‌های مسکوویت و بیوتیت ( $4 \pm 3$  نمونه) از دو موقعیت مختلف این توده گرانیتی، سن‌های  $145 \pm 3$ ،  $120 \pm 3$  و  $135 \pm 3$  میلیون سال (Alberti et al., 1973) (اوخر ژوراسیک- اوایل کرتاسه) را نشان داده است. پیلهایی از بیوتیت مسکوویت لیکوگرانیت در کنگلومرای اوایل ژوراسیک پیدا شده است. Majidi (1983) رساله دکتری خود را روی افولیت، سنگ‌های دگرگونی و گرانیتی انجام داده است. Alavi (1979; 1991; 1992) ویژگی‌های ساختاری ناحیه را به تفصیل کار کرده است. Valizadeh & Karimpour (1995) بررسی سنگ‌نگاری و عناصر اصلی گرانیت‌ویدهای مشهد را انجام دادند. Mirnejad (1991) پایان نامه کارشناسی ارشد خود را روی سنگ‌نگاری و ژئوشیمی عناصر اصلی توده‌های نفوذی انجام داده است. Iranmanesh & Sethna (1998) بررسی کلی روی گرانیت‌های مشهد داشته‌اند. Abbasi (1998) پژوهه کارشناسی ارشد خود را بر روی سنگ‌های دگرگونی ناحیه‌ای و مجاورتی به پایان رساند. همچنین Ghazi et al. (2001) ژئوشیمی و تعیین سن افولیت مشهد را انجام داده‌اند. در طبقه پیش‌نیاز سال پژوهش‌های انجام شده در ناحیه، بر اساس روابط

است. کنگلومرای کرتاسه میان لایه‌هایی از ماسه‌سنگ‌های فسیل دار دارد. بر اساس فسیل‌ها، سن کرتاسه زیرین برای این کنگلومرا مشخص شده است (Karimpour, 2009). کنگلومرا به تدریج در بخش بالایی به ماسه‌سنگ، سنگ‌آهک ماسه‌ای و سنگ‌آهک توده‌ای بالایی تبدیل می‌شود. انواع مختلفی از فسیل مثل اوربیتولین درون سنگ‌آهک پیدا شده است که نشان می‌دهد در کرتاسه زیرین تشکیل شده است.

### ۳- روش تجزیه

#### ۱- ژئوشیمی قوه نفوذی

بررسی‌های صحرایی روی کمرنند پلوتونیک- دگرگونی پالتوتیس در طول پیش از ۱۰ سال تدریس درس عملیات صحرایی انجام شده است. پس از بررسی‌های دقیق سنگ‌نگاری ۱۵ نمونه توده نفوذی برای آنالیز عناصر اصلی، فرعی و کمیاب خاکی انتخاب شد. اکسیدهای اصلی در نمونه‌های ذوبی و عنصر، Zr، Sn، Nb، Ba، Sr، Sc، Y و Ga در قرص‌های پودر شده توسط دستگاه XRF (مدل فیلیپس PW1410) در دانشگاه فردوسی مشهد تجزیه شدند. عناصر کمیاب خاکی به روی شیوه ICP-MS در آزمایشگاه ACME کانادا تجزیه شدند. مقدار FeO و Fe<sub>2</sub>O<sub>3</sub> به وسیله تتراسیون با استاندارد محلول پرمنگات پتاسیم با درستی  $\pm 1$  درصد در دانشگاه فردوسی مشهد تعیین شده است.

#### ۲- سن سنگی U/Pb

یک نمونه از واحد بیوتیت مسکوویت لیکوگرانیت که بر روی آن ایزوتوپ Sr و Nd تجزیه شده است، برای تعیین سن به روی Ar-Pb روش کانی زیرکن انتخاب شد. زیرکن‌ها به وسیله روش استاندارد جداسازی، تفکیک شدند. حدود ۷۰ دانه زیرکن جدا شد. زیرکن‌ها برای تعیین سن به مرکز آریزونا در دانشگاه آریزونا آمریکا فرستاده شدند. در آنچه از روش Laser-Ablation multi collector ICP-MS برای سن سنگی استفاده شد (Gehrels and Valencia, 2006). زیرکن‌ها ابتدا در یک پلاک اپاکسی به قطر ۱ اینچ همراه با خردک‌هایی از زیرکن استاندارد ID-TIMS و شیشه‌های NIST SPM610 قالب گیری شده، سپس این پلاک‌ها نصف شده و صیقل می‌خورند. عکس در زیر میکروسکوپ کاتدولومینسانس (CL) گرفته می‌شود. تصویر CL ساختار درونی دانه‌های زیرکن برخ خورده را نشان می‌دهد و با استفاده از آن مکان‌های مناسب برای پرتو لیزر انتخاب می‌شوند. همچنین می‌تواند به تعیین منشأ دانه‌های زیرکن (آذرین، دگرگونی یا گرمابی) کمک کند. این روش به طور معمول با یک پرتو به قطر ۳۵ یا ۲۵ میکرون و اگر لازم باشد در دانه‌های ریزتر به قطر ۱۵ یا ۱۰ میکرون صورت می‌پذیرد. پرتو ۳۵ یا ۲۵ میکرونی با نرخ تکرار ۸ هرتز و انرژی ۱۰ میکروژول تنظیم می‌شود که می‌تواند یک سیگنال کم و بیش ۱۰۰۰۰ cps در گرم در تن برای U در زیرکن تولید کند. برای اندازه‌های کوچکتر پرتو لیزر، انرژی ۶۰ میکروژول و نرخ تکرار ۴ هرتز) کاهش می‌یابد. در هر دو حالت بیان شده مواد برانگیخته شده توسط پرتو لیزر از یک اتفاق گازهای هلیم عبور می‌کنند. گاز هلیم و نمونه برانگیخته شده پیش از ورود به محیط پلاسما ICP-MS با گاز آرگون مخلوط می‌شوند. مقدار Pb ایزوتوپی نسبت به Th و U به کمک نمونه استانداری که همراه با زیرکن‌ها قالب گیری شده و هر بار با اندازه گیری سه تا پنج نمونه مجھول، اندازه گیری آن تکرار می‌شود، محاسبه می‌شود. نمونه استاندارد زیرکن ID-TIMS نمونه زیرکن از سیریلانکا با سن  $563/5 \pm 3/2$  Ma است. همچنین مقدار Th و U نمونه‌های مجھول با شیشه‌های NIST SRM610 مورد سنجش قرار می‌گیرد. مقدار U این شیشه‌ها ۴۶۲ گرم در تن و مقدار Th آن ۴۵۷ گرم در تن است. قطعیت تجزیه‌های انجام شده حدود ۲ سیگما (تفیریاً ۱ درصد) برای U/<sup>238</sup>Pb و <sup>206</sup>Pb/<sup>207</sup>Pb است.

نتیجه گرفته شده که برخورد اولیه ایران و توران پیش از پایان تیاس شروع شده است.

#### ۲-۱. متافیولیت

به دو مجموعه تقسیم می‌شود: ۱) نورآباد و ۲) چهار چشم. مجموعه نورآباد (نام قدیم آن ویرانی است) در طول جاده مشهد- شاندیز (حدود ۲۵ کیلومتری مشهد) پیرامون روستای نورآباد رخمنو دارد (شکل ۱). مجموعه متافیولیت چهار چشم میان و کیلآباد و خلچ دیده می‌شود (شکل ۱). هورنبند گابرو (افیولیت) به وسیله روش <sup>40</sup>Ar-<sup>39</sup>Ar تعیین سن شده است و سن میان  $287/6 \pm 281/7$  میلیون سال نشان داده است که نشان دهنده اوخر پنسیلوانین- اوایل پرمین بوده و شبیه به سایر تعیین سن‌های انجام شده برای پوسته ایوانوسی پالتوتیس است (Ghazi et al., 2001).

بر اساس بررسی‌های تفصیلی Alavi (1979; 1991) این افیولیت به وسیله رانده‌شدگی کم زاویه پیش از برخورد بر روی فلیش‌ها جایگزین شده است. در این بخش‌ها میلیونیت‌ها از چند سانتی‌متر تا چند متر عرض دارند. تغییر شکل‌های پیش و همزمان با فرارانش یک ساختار پیچیده را در بقایای پالتوتیس به وجود آورده است (Alavi, 1991). افیولیت‌ها و متافلیش‌های در برگیرنده آنها به دو فاز چین خودگی ایزوکلینیا هم محور با محورهای زیر افقی تغییر شکل داده‌اند (Alavi, 1992). در نتیجه افیولیت و متافلیش در یک لغزش باریک موازی ظاهر شده است.

#### ۲-۲. متافلیش

متاسدیمنت‌ها شامل اسلیت، کوارتزیت، مرمر، کمی فیلیت، کنگلومرای کربناتی و الیسترستروم هستند. Alavi (1979) این رسوبات را وابسته به آب‌های ژرف دانسته است. براساس پژوهش‌های Abbasi و Karimpour (2009) اولین مرحله دگرگونی ناحیه‌ای کم فشار و حرارت متوسط (زون استارولیت درون رحساره آمفیولیت) بوده است. متافلیش باقیمانده پالتوتیس توسط بیوتیت مسکوویت لیکوگرانیت خواجه مراد موردنفوذ واقع شده است.

#### ۲-۳. متاسدیمنت‌های دگرگونی ناحیه‌ای در جه پایین جوان تو

این متاسدیمنت‌ها در جنوب باخته گسل رانده اصلی دیده می‌شوند (شکل ۱). در این ناحیه یک توالی ستبر از شیل دگرگون شده درجه پایین و سیلت‌ستون با قاعده کنگلومرا شامل پبل‌هایی از افیولیت، متافلیش، دیبوریت و گرانوپلیوریت است. کنگلومرا به وسیله گسل رانده در شمال قطع شده است (شکل ۱). آنها به وسیله گسل رانده در بخش جنوبی قطع شده‌اند (شکل ۱). در نتیجه رانده شدن کنگلومرای دولومیت‌های قاعده آنها به شدت برشی و سیلیسی شده‌اند. درون پنهان رانده گاهی با سن اوایل ژوراسیک دارند می‌شود (شکل ۱). شیل‌ها فسیل‌های گاهی با سن اوایل ژوراسیک دارند (Fakhr, 1977; Khatonie Molayossefi, 2000) مرحله دوم در ژوراسیک اتفاق افتاده است (Karimpour, 2009).

#### ۴-۲. کنگلومرای ژوراسیک، ماسه‌سنگ و شیل

درون یک حوضه زمین‌ساختی باریک با روند NW-SE در جنوب بینالود، کنگلومرا، شیل و سیلت‌ستون دیده می‌شود (شکل ۱). کنگلومرای قاعده شیل پبل‌هایی از متافلیش و بیوتیت مسکوویت لیکوگرانیت خواجه مراد است. ماسه‌سنگ، سیلت‌ستون و شیل به صورت میان لایه‌ای دیده می‌شود. افق‌های کمی زغالی، درون شیل‌ها دیده می‌شود. بر اساس فسیل‌های گاهی، سن رسوبات لیاس- دوگر است (Fakhr, 1977; Khatonie Molayossefi, 2000).

#### ۴-۵. کرتاسه زیرون

رسوبات کرتاسه زیرین به طور عمده در جنوب ناحیه بینالود دیده می‌شود (شکل ۱). کرتاسه زیرین شامل دو بخش کنگلومرای زیرین و سنگ‌آهک بالایی است. کنگلومرای زیرین با دگرگشی روی کنگلومرای ژوراسیک را پوشانده

### ۳-۳. ایزوتوپ های Nd-Sr

کوارتز، ۵ درصد مسکوویت (بالغ بر ۳ سانتی متر طول) و ۵ درصد تورمالین (بالغ بر ۱۲ سانتی متر طول)، (۳) نوع III: میکرو کلین، کوارتز، مسکوویت، آلیت، گارننت آلماندین + تورمالین دارند. این نوع کمتر معمول است، (۴) نوع IV: خیلی کمیاب بوده و دارای میکرو کلین، کوارتز، مسکوویت، آلیت و بریل است. پigmاتیت ها در برخی نواحی برای فلذسپار استخراج می شوند. فلذسپارها در مجموع غنی از پتاسیم هستند اما تعدادی فلذسپار های Na-K دار نیز در خواجه مراد پیدا شده است.

### ۵- ژئوشیمی بیوتیت مسکوویت لیکوگرانیت

نتایج تجزیه توده بیوتیت مسکوویت لیکوگرانیت در جدول ۱ نشان داده شده است. مقدار  $\text{SiO}_2$  از ۷۷ تا ۷۴ درصد متغیر است (جدول ۱). در نمودار مثلثی آلیت- ارتوکلاز- آنورتیت (Barker, 1979) این توده در محیط گرانیت رسم شده است (شکل ۲).

رسم  $\text{K}_2\text{O}/\text{Na}_2\text{O}$  در برابر  $\text{CaO}/\text{Na}_2\text{O}$  نشان می دهد که نسبت  $\text{K}_2\text{O}/\text{Na}_2\text{O}$  در بیوتیت مسکوویت لیکوگرانیت بین ۰/۸ تا ۱/۶۲ و برای آپلت بین ۰/۸ تا ۰/۹۷ است (شکل ۳). مقدار  $\text{Na}_2\text{O}$  در آپلت افزایش پیدا کرده است. تغییرات اندیس تفریق (D.I) بسیار آرام است (۸۹ تا ۹۱) (جدول ۱). رسم بیوتیت مسکوویت لیکوگرانیت در نمودار ( $\text{Na}_2\text{O} + \text{K}_2\text{O})/\text{CaO}$  (Zr + Ce + Y + Nb) (Whalen et al., 1987) نشان می دهد که این توده در محیط گرانیت تفریق یافته قرار می گیرد (شکل ۴).  
 (Villaseca et al. (1998) گرانیت های پرآلومینوس را در ۴ گروه تقسیم نبندی می کنند: ۱) گرانیت ییدهای بهشدت پرآلومینوس که از نوع S هستند (H-P). این توده ها بالاترین مقدار A=Al-(K+Na+2Ca) را دارند (شکل ۵) و با داشتن کانی های غنی از Al مثل مسکوویت، گارننت (آلماندین - پیرپ) کردیریت و سلیمانیت مشخص می شوند. این گرانیت ییدهای به طور معمول آنکلاوهای باقیمانده فراوانی دارند، ۲) گرانیت ییدهای متوسط پرآلومینوس (M-P) (شکل ۵) که از نوع غنی از بیوتیت هستند. کانی های کمیاب این واحدها شامل کردیریت و گارننت (آلماندین - پیرپ) است، ۳) گرانیت ییدهای کم پرآلومینوس (L-P) (شکل ۵) که از نوع گرانیت ییدهای ASI هستند. این توده ها دارای آمفیول ۵ هستند و آنکلاوهای آنها بیشتر نوع گرانولار مافیک است، ۴) گرانیت ییدهای پرآلومینوس به شدت فلزیک (F-P) (شکل ۵). بیوتیت مسکوویت لیکوگرانیت در بخش گرانیت ییدهای پرآلومینوس به شدت فلزیک (F-P) رسم می شود (شکل ۵). آنها بالای خط جدا کننده I-S هستند و بنابراین از نوع S هستند (شکل ۵). نمودار  $\text{Rb}/\text{Nb}$  از (Pearce et al. (1984) نشان می دهد که بیوتیت مسکوویت لیکوگرانیت در محیط گرانیت های هم زمان با برخورد قرار می گیرد (شکل ۶).

نتایج تجزیه عناصر کمیاب خاکی بیوتیت مسکوویت لیکوگرانیت و آپلت در جدول ۲ ارائه شده است. مقادیر عناصر کمیاب خاکی این واحدها نسبت به مقدار این عناصر در کندریت (Boynton, 1984) بهنجار شد. بهنجارشدن عناصر کمیاب خاکی بیوتیت مسکوویت لیکوگرانیت نسبت به کندریت نشان می دهد که عناصر کمیاب خاکی سبک (LREE) غنی شدگی متوسط نسبت به عناصر کمیاب خاکی سنگین (HREE) دارند (شکل ۷).

آپلت الگوی متفاوتی دارد، به نحوی که LREE آن کم و HREE زیاد است (شکل ۷). مقدار کل عناصر کمیاب خاکی بیوتیت مسکوویت لیکوگرانیت بین ۱۳۰ تا ۱۷۶ است، در حالی که در آپلت این مقدار بسیار کم و بین ۵۰ تا ۷۹ است (جدول ۲). آنها بی هنجاری Eu منفی کوچکی دارند ( $\text{Eu}/\text{Eu}^{*} = ۰/۵۲$  تا ۰/۷۶). بر اساس (Taylor and McLennan (1985) مقدار  $\text{Eu}/\text{Eu}^{*}$  کمتر از یک به منزله بی هنجاری منفی و بیش از یک بی هنجاری مثبت است.  
 مقادیر عناصر واسطه با شدت میدان پایین (LFSE) مثل Rb، Ba و Sr در بیوتیت

تجزیه ایزو توپ های رادیوژنیک Sm-Nd و Rb-Sr و Sm-Nd ۰.۷۱۰۲۸ با نمونه سنگ توسط 8-collector Finnigan MAT 261 Thermal Ionization Mass Spectrometer در داشتگاه کلرادوی آمریکا صورت بدیرفت. نمونه های لیکوگرانیت و آپلت پس از خردایش و نرمایش در شرکت طیف کانسaran بینالود برای این داشتگاه ارسال شد. مقدار  $^{87}\text{Sr}/^{86}\text{Sr}$  با استفاده از four-collector static mode measurements  $^{87}\text{Sr}/^{86}\text{Sr} = ۰.۷۱۰۲۸$  SRM-987 با مقدار  $^{87}\text{Sr}/^{86}\text{Sr} = ۰.۷۱۱۸۳۸ \pm ۰.۰۵$  dynamic mode measurements  $^{87}\text{Sr}/^{86}\text{Sr} = ۰.۷۲۱۰ \pm ۰.۰۷۲۱۰$  با نمونه استاندارد LaJolla Nd با مقدار  $^{14۳}\text{Nd}/^{14۴}\text{Nd} = ۰.۷۲۱۰ \pm ۰.۰۷۲۱۰$  نمونه استاندارد بهنجار و تجزیه با dynamic mode three-collector measurements نیز بارها تکرار شد که مقدار  $^{14۳}\text{Nd}/^{14۴}\text{Nd} = ۰.۷۲۱۰ \pm ۰.۰۷۲۱۰$  را مشخص کرد.

### ۴- سنگ نگاری

#### ۴-۱. تورمالین آپلت گرانیت

تورمالین آپلت گرانیت در طول حاشیه لیکوگرانیت دو میکائی رختمن دارد (شکل ۱). تورمالین و گارننت در این واحد نفوذی فراوان است. تجزیه مایکرو پرپ گارننت، ۶۵/۵-۶۴/۳ درصد آلماندین، ۱۵/۷-۱۶/۷ درصد گراسولاریت، ۱۲/۳۴-۱۲/۳۴ درصد پرپ، ۵/۶ درصد اسپسارتین و ۲/۸-۲/۴ درصد آندرادیت را نشان می دهد.

#### ۴-۲. بیوتیت مسکوویت لیکوگرانیت

باتولیت بیوتیت مسکوویت لیکوگرانیت یک توده شمال پاختنی- جنوب خاوری با ابعاد ۷ در ۷ کیلومتر است. این باتولیت شامل واحد های مختلفی است. برای مثال زون حاشیه ای آن غنی از تورمالین و آپلت گرانیت تورمالین دار است و بیشترین بخش آن بیوتیت مسکوویت لیکوگرانیت است (شکل ۱). دایک های پگماتیت که به طور محلی فراوان هستند، توده بیوتیت مسکوویت لیکوگرانیت را قطع کرده اند. بافت بیوتیت مسکوویت لیکوگرانیت همسان دانه ریز با برگ وار گی ضعیف است. این واحد شامل ۲۷ درصد کوارتز، ۲۵-۲۸ درصد مسکوویت و ۱/۵-۵/۲ درصد بیوتیت است. کانی های کمیاب شامل تورمالین، گارننت، آپاتیت و زیرکن است. بیگانه سنگ هایی با بیشینه ابعاد ۹/۵-۹/۸ متر از سنگ دیواره در این واحد دیده می شود که در خواجه مراد فراوان تر است. انواع مختلفی از بیگانه سنگ ها مثل فلذسپار مونزو گرانیت، سنگ های دگرگونی، بیوتیت گرانیت پورپ و خرد سنگ های غنی از میکا در واحد بیوتیت- مسکوویت لیکوگرانیت تشخیص داده شده است. بیشتر بیگانه سنگ ها فلذسپار مونزو گرانیت هستند. در ناحیه خواجه مراد به دلیل فراوانی این بیگانه سنگ ها می توان نتیجه گرفت که آنها سقف اتفاقک ماجمایی را تشکیل داده اند.

#### ۴-۳. پگماتیت

پگماتیت ها جوان ترین توده های نفوذی در این کمریند هستند. دایک های پگماتیتی به حالت شبکه ای، توده های قلیمه تر را قطع کرده اند. آنها به شکل دایک و عدسی دیده می شوند. دایک های پگماتیتی از ۱ سانتی متر تا ۲۵ سانتی متر در عرض متغیرند. همچنین اندازه دانه دایک های پگماتیتی از میکروسکوپی تا ده ها سانتی متر متغیر است. گاه بلوری مثل میکرو کلین تا ۴۰ سانتی متر طول دارد. پگماتیت ها را بر اساس مقدار کانی ها می توان به ۴ گروه تقسیم بندی کرد: ۱) نوع I شامل: ۹۰-۶۰ درصد میکرو کلین صورتی با کمی آلیت به صورت پرتیت (بالغ بر ۲۰ سانتی متر طول)، ۲) نوع II شامل: ۲۰-۵ درصد کوارتز، ۲۰-۵ درصد مسکوویت (صفحاتی با ۸-۲ سانتی متر طول) و در برخی نواحی بالغ بر ۵ درصد سریسیت به عنوان کانی اولیه تشکیل دهنده یا آنگر گات شعاعی، ۳) نوع III شامل: ۸۰-۷۰ درصد میکرو کلین صورتی با مقداری آلیت در بیشتر پرتیت (بالغ بر ۱۵ سانتی متر طول)، ۴) نوع IV شامل: ۱۵-۱۰ درصد

شکل ۱۱ نشان داده شده است. بر اساس تجزیه ۱۶ نقطه میانگین سن به دست آمده  $\pm 4/1$  میلیون سال است (با خطای ۲ سیگما). بر پایه تجزیه U-Th-Pb U در زیر کن، بیویت مسکوویت لیکوگرانیت (خواجه مراد) در تریاس پسین (راتین) تشکیل شده است.

Sr-Nd ایزوتوپ - ۸

اطلاعات ایزوتوپی Rb-Sr و Sm-Nd بیوتیت مسکوویت لیکوگرانیت (MG-1) و آپلیت (AG-2) در جدول های (۴) و (۵) ارائه شده است. نسبت  $^{87}\text{Sr}/^{86}\text{Sr}$  اولیه و نسبت  $^{143}\text{Nd}/^{144}\text{Nd}$  اولیه بر اساس سن میانگین ۲۰۵ میلیون سال محاسبه شده است. نسبت  $^{87}\text{Sr}/^{86}\text{Sr}$  اولیه برای بیوتیت مسکوویت لیکوگرانیت و آپلیت ۰/۷۰۸۱۶۱ و نسبت  $^{143}\text{Nd}/^{144}\text{Nd}$  مقادیر اولیه بیوتیت ۰/۷۰۹۸۵۳ و برای اسلیت (جدول ۴). مقادیر  $^{87}\text{Sr}/^{86}\text{Sr}$  اولیه بیوتیت مسکوویت لیکوگرانیت ۰/۷۰۲۸۷ و اسلیت ۰/۷۰۲۸۷ است (جدول ۴). نسبت  $^{143}\text{Nd}/^{144}\text{Nd}$  اولیه برای بیوتیت مسکوویت لیکوگرانیت ۰/۵۱۲۲۱۴ و اسلیت ۰/۵۱۱۵۹۸ است (جدول ۵).

٩ - مِنْشَأُ مَا كَمَا

برخورد صفحه‌های ایران و توران باعث کوتاه‌شدگی و سبزشدنگی پوسته شده است. در پنهانه برخورد قاره‌ها، در نتیجه سبزشدنگی پوسته قاره‌ای، متابلیت‌ها، متاگریوک‌ها و متآذرین‌ها تحت شرایط دی هیدراسیون شروع به ذوب شدگی کرده و سری‌های مختلفی از ماسه‌های پرآلومینوس اسیدی - حد واسطه را تولید می‌کنند. (Miller, 1985; Petford and Atherton, 1996)

نسبت  $^{87}\text{Sr}/^{86}\text{Sr}$  اولیه،  $\text{Nd}^{143}/\text{Nd}^{144}$  اولیه بازالت MORB، بیوتیت مسکوویت لیکوگرانیت و اسلیت از منطقه مورد بررسی در شکل های ۱۲ و ۱۳ نشان داده شده است. مقدار  $\text{Nd}^{143}$  برای بیوتیت مسکوویت لیکوگرانیت و دایک آپلیتی بین ۶-۶/۸۳ و برای MORB بین ۷+ تا ۱۳+ است. نسبت  $^{87}\text{Sr}/^{86}\text{Sr}$  اولیه برای بیوتیت مسکوویت لیکوگرانیت و آپلیت بین ۰/۷۰۸۱۶۱ تا ۰/۷۰۸۹۵۳ و برای MORB بین ۰/۵۱۳۵ تا ۰/۵۱۳۰ است (Karimpour, 2009). بر اساس اطلاعات ایزو-توپی، بیوتیت مسکوویت لیکوگرانیت و دایک های آپلیتی منشایی خارج از گوشته دارند. مقادیر  $\text{Nd}^{143}$  اولیه بیوتیت مسکوویت لیکوگرانیت ۶-۶/۸۳، آپلیت ۱۵-۱۵/۳۶ و اسلیت ۱۵-۱۵/۳۶ است (جدول ۵). بر پایه مقادیر نسبت  $^{87}\text{Sr}/^{86}\text{Sr}$  اولیه و  $\text{Nd}^{143}/\text{Nd}^{144}$  اولیه، بیوتیت مسکوویت لیکوگرانیت و دایک های آپلیتی مانگماهی نشات گرفته از پوسته قاره ای هستند. اسلیت مقدار نسبت  $^{87}\text{Sr}/^{86}\text{Sr}$  اولیه و  $\text{Nd}^{143}/\text{Nd}^{144}$  اولیه بیشتری در مقایسه با این واحدها دارد. این مسأله نشان می دهد که بیوتیت مسکوویت لیکوگرانیت و دایک های آپلیتی از پوسته قاره ای با مقدار نسبت  $^{87}\text{Sr}/^{86}\text{Sr}$  اولیه و  $\text{Nd}^{143}/\text{Nd}^{144}$  اولیه کمتر از ۰/۱۰۱ گذشتند.

لیکوگرانیت های پرآلومینیوس به طور معمول همراه با سنگ های دگرگونی تا  
ناحیه ای و کمریندهای به شدت چین خورده شامل رسوبات پلیتیک و  
کوارتز فلدوپاتیک هستند، مانند کمریند mobile Tasman خاور استرالیا  
(Chappell and White, 1974; Phillips et al., 1981)، ناحیه تبت جنوب پنال  
Black Hills,(DeBon et al., 1968; Inger and Harris, 1993) جنوب داکوتا  
(Shearer et al. 1987) و کمریند چین خورده هرسینین (Didier & Lamreyre, 1969).

بیویت - مسکوویت لیکوگراینیت‌ها و پکماتیت‌های مشهد از نوع گراینیت‌های SP پس از برخورد هستند. گراینیت‌های SP در شرایط زیر می‌توانند تشکیل شوند:  
 ۱) برخورد با فشار بالا مثل آلب و هیمالیا. سترشدگی پوسه هزمان با برخورد در این نواحی به طور کامل آشکار است (تقریباً ۱۳۰ کیلومتر) (Gebauer et al., 1997).

مسکوویت لیکوگرانیت بالاست (جدول ۱). لیکوگرانیت بالاترین مقادیر Rb را در جدول ۱ دارد (بین ۲۳۵ تا ۲۶۱ گرم در تن). نسبت Sr/Rb در این توده بین ۱/۰۷ تا ۱/۲۷ است (جدول ۱). مقدار Ba نیز بین ۵۵ تا ۷۸ گرم در تن است (جدول ۱).

نمودار عنکبوتی عناصر فرعی و برخی عناصر کمیاب خاکی بهنجارشده بیویت مسکوویت لیکوگرانیت و آپلیت نسبت به کندریت در شکل ۸ نشان داده است.

Rb و K بی هنجاری مثبت نشان می دهند. ناهنجاری منفی در Ba, Sr, Nb, P و Ti دیده می شود (شکل ۸). تفریق و یا حضور تعدادی از کانی ها به عنوان باقیمانده در منشأ می تواند این ناهنجاری های منفی را توضیح دهد مثل آپلیت برای فسفر، ایلمنیت یا بتینیت برای تیتان، فلدسپار برای باریم و پلازیو کلاز برای استرانسیم.

عناصر LFSE و (Ba) ناهنجاری منفی دارند (شکل ۸). مقدار عناصر Ce, La, Sm, Nd, Sr, Zr, P و Ti در آپلیت کمتر از بیویت مسکوویت لیکوگرانیت است و فقط عنصر Yb در آپلیت بیشتر است (شکل ۸). این می تواند به علت حضور گارنت در آپلیت باشد.

۶- پذیرفتاری مغناطیسی

سنگ‌های گرانیتی بهوسیله (1977) Ishihara به دو گروه سری مگنتیت و سری ایلمنیت تقسیم شدند. او تشخیص داد که در راپن تفکیک مکانی آشکاری بین سنگ‌های گرانیتی وجود دارد که برخی دارای مگنتیت هم‌زمان با ایلمنیت و برخی فقط دارای ایلمنیت هستند. همچنین مشخص کرد که گرانیتوییدهای سری مگنتیت به نسبت اکسیدان هستند، در حالی که گرانیتوییدهای سری ایلمنیت به نسبت کاهیده هستند. گرانیت‌هایی که پذیرفتاری مغناطیسی بیش از  $10^{-3}$  SI × ۳ دارند وابسته به سری مگنتیت هستند (Ishihara, 1977). براساس مقدار پذیرفتاری مغناطیسی، ترکیب کانی شناسی و نسبت آهن فربک به فروس (کمرت از ۰/۳۵، بیوتیت مسکوویت لیکوگرانیت و آپلیت وابسته به سری ایلمنیت هستند (شکل ۹).

طبقه‌بندی گرانیتوییدهای سری مگنتیت و ایلمنیت در برابر نسبت Rb/Sr و سری مناسبی برای اکشاف کانسارها است. نمودار  $(\text{Fe}_2\text{O}_3/\text{FeO})$  در برابر  $\text{Rb}/\text{Sr}$  (شکل ۱۰) نشان می‌دهد که بیوتیت مسکوویت لیکوگرانیت و آپلیت در محیط گرانیتوییدهای سری ایلمنیت قرار می‌گیرند و نسبت  $\text{Rb}/\text{Sr}$  پایینی دارند، بنابراین برای کانی سازی مس، قلع و مولیبدن یاتانسیا، ندارند.

## ۷- سن سنجی زیر کن به روش U-Pb

باقیایی افولیتی پالوثوتیس به دو روش  $^{40}\text{Ar}-^{39}\text{Ar}$  (۲۸۱/۴ و ۲۷۷/۴ میلیون سال) و مقدار K/Ar (۲۷۳ و ۲۶۵ میلیون سال) تعیین سن شده است (Ghazi et al., 2001). بنابراین سن آن اوخر پنسیلوانین - اوایل پرمین است. در ایران، ترکیه و یونان خط درز پالوثوتیس پیش از تریاس پسین (۲۳۱ میلیون سال پیش) جایگزین شده است. در تریاس پسین (حدود ۲۲۵ میلیون سال پیش) به طور قطعی پالوثوتیس وجود نداشته است (Stampfli, 1996, 2002; Stampfli and Pillevuit, 1993;).

بیوتیت مسکوویت لیکوگرانیت توسط روش K-Ar تعیین سن شده است (Alberti and Moazzaz, 1974). کنگلومرازی ژوراسیک- ماسهسنگ و شیل شامل پیلهای از بیوتیت مسکوویت لیکوگرانیت است. بر اساس فضیلهای گیاهی، سن این توالی لیاس- دوگر (اوایل تا اواسط ژوراسیک، ۱۸۰ تا ۱۷۰ میلیون سال) است (Khatonie Molayossefi, 2000). بر پایه این اطلاعات آشکار است که سن تعیین شده در روش K-Ar درست نیست. برای به دست آوردن سن مطلق درست از روش تجزیه U-Th-Pb در زیر کن استفاده شده است. نتایج تجزیه انزوtopهای U-Th در زیر کن توده بیوتیت مسکوویت لیکوگرانیت در جدول ۳ ارائه شده است. نتایج محسنه شده نمونه ۱ MG در

نسبت بالاتر  $\text{CaO}/\text{Na}_2\text{O}$  بیانگر آن است که مقدار آنوریت بالاتر بوده است. بر اساس بیهودگی خیلی منفی نسبت  $\text{Eu}/\text{Eu}^*$ , بیشتر پلازیوکلازها ذوب شده‌اند. مقدار بالای  $\text{MgO}$  و  $\text{Ba}$  و بالاتر بودن نسبت  $\text{K}_2\text{O}/(\text{CaO}+\text{Na}_2\text{O})$  نشان می‌دهد که سنگ منشأ غنی از پاتسیم فلدسپار، مسکوویت و بیوتیت بوده و همه پاتسیم فلدسپارها، مسکوویت‌ها و بخشی از بیوتیت‌ها ذوب شده‌اند. بالاتر بودن مقدار لیکوگرانیت‌های مشهد بستگی به ذوب بیوتیت داشته است.

پژوهش‌های انجام شده توسط Patino Douce and Harris (1998) روی متاپلیت‌های همیالیا نشان می‌دهد که نسبت  $\text{Na}_2\text{O}/\text{K}_2\text{O}$  در ذوب بخشی کم، وابسته به فشار و مقدار آب است. مقدار  $\text{Na}_2\text{O}/\text{K}_2\text{O}$  در مذاب از  $0/83$  در حرارت  $775^\circ\text{C}$  درجه سانتی‌گراد و فشار  $6$  کیلوبار به  $0/98$  در حرارت  $800^\circ\text{C}$  درجه سانتی‌گراد و فشار  $8$  کیلوبار و  $1/45$  در حرارت  $825^\circ\text{C}$  درجه سانتی‌گراد و فشار  $10$  کیلوبار افزایش می‌یابد. مذاب تولید شده با مقدار کم آب اضافه شده نزدیک سالیوس، ترکیب ترانجیمت دارد. تغییر ناگهانی به سوی ترکیب ترانجیمت در فشار  $10$  کیلوبار بیشتر از  $4$  کیلوبار است.

Oollo de Sapo et al. (2000) به طور تجربی روی روابط ذوبی گیبس ( $\text{Ca}_3\text{Al}_2\text{Si}_3\text{O}_{10}\cdot2\text{H}_2\text{O}$ ) (اسپانیا) بررسی کردند. همه مذاب‌های تشکیل شده در آزمایش‌های بدون سیال در محدوده گرانیت رسم می‌شوند. در آزمایش با  $2$  درصد آب نیز در محدوده گرانیت نزدیک مرز ترانجیمت و با  $5$  درصد آب در محدوده مونزو گرانیت قرار می‌گیرند. شکل  $15$  تشکیل ماقمای لیکوگرانیت را در طول برخورد صفحه‌های ایران و توران نشان می‌دهد.

## ۱۰- نتیجه‌گیری

بیوتیت مسکوویت لیکوگرانیت و آپلیت گرانیت‌های پرآلومینوس به شدت فلیسیک هستند. براساس پذیره‌فاری مغناطیسی، ترکیب کانی شناسی و مقدار نسبت آهن فریک به فروس (کمتر از  $0/35$ )، هر دو واحد به سری ایلمینیت تعلق دارند. بر پایه تجزیه  $\text{U-Th-Pb}$  در کانی زیرکن، بیوتیت مسکوویت لیکوگرانیت (خواجه مراد) در اواخر تریاس تشکیل شده است (راتین،  $205/9 \pm 4/1$  میلیون سال). آنها در متافیلیت و متافیلیش باقیمانده پالئوتیس نفوذ کرده‌اند. هر دو واحد گرانیت نوع  $\text{S}$  بوده و در طول بسته شدن پالئوتیس و زون برخوردی به وجود آمده‌اند. مقادیر  $\text{Nd}$  اولیه بیوتیت مسکوویت لیکوگرانیت و آپلیت از  $6/48$ -تا  $6/83$ - و مقدار نسبت  $^{87}\text{Sr}/^{86}\text{Sr}$  اولیه از  $70/9853$  تا  $70/8161$  متغیر است. این مقادیر نشان‌دهنده ماقمای مشق شده از پوسته قاره‌ای است.

نمودار نسبت‌های  $\text{Rb}/\text{Sr}$  در برابر  $\text{Rb}/\text{Ba}$  نشان می‌دهد که نمونه‌های بیوتیت مسکوویت لیکوگرانیت در نزدیک مذاب مشق شده از پسامیت قرار می‌گیرند. بیوتیت مسکوویت لیکوگرانیت با نسبت  $\text{CaO}/\text{Na}_2\text{O}$  کم و بیش برابر  $0/3$  بین  $1$  تا  $1/3$  نشان‌دهنده مقدار پلازیوکلاز بین بیش از  $5$  درصد تا کمتر از  $15$  درصد در منشأ است. همه شواهد نشان می‌دهد که منشأ بیوتیت مسکوویت لیکوگرانیت ترکیب بین متاپلیت تا پسامیت داشته است.

## سپاسگزاری

این پژوهش به وسیله دانشگاه فردوسی مشهد (پژوهش P/742 مورخه ۸۷/۷/۱۴) حمایت شده است. نویسنده‌گان از آقایان Victor Valencia و George E. Gehrels از گروه علوم زمین دانشگاه آریزونا تاکsonون که سن سنجی زیرکن را انجام دادند، تشکر می‌کنند.

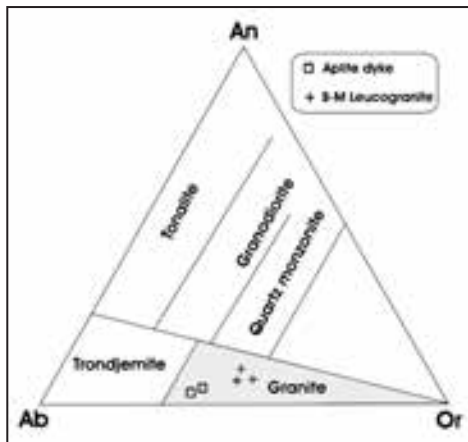
عناصر گرامازای رادیوزنیک مثل Th, U, K در ژرف، حجم کم تا متوسطی از مذاب گرانیت‌های SP سرد (دمای کمتر از  $875^\circ\text{C}$  درجه سانتی‌گراد) با مقدار  $\text{Al}_2\text{O}_3/\text{TiO}_2$  بالا تولید می‌کند (Venturelli et al., 1984; Turner et al., 1996); (Le Fort et al., 1983; Searle et al., 1997) سبزشده‌گی پوسته در زون برخورد هرسینید به احتمال بیش از  $50$  کیلومتر بوده است (Behrmann et al., 1991). گرانیت‌های SP هرسینید همراه با مقدار زیادی گرانیت‌های کلسیمی-قلایی هم‌زمان با پس از برخورد هستند که شواهدی مبنی بر واکنش با ماگمای مشق شده از گوشته (به احتمال سست‌کرده) دارند (Rotture et al., 1991; Pamice et al., 1996, 1997) درجه سانتی‌گراد با مقدار  $\text{Al}_2\text{O}_3/\text{TiO}_2$  پایین تشکیل شده‌اند، و  $3$  حد وسط شماره  $1$  و  $2$ . کوهزایی کالدونین بریتانیا ممکن مثالی از این نوع باشد.

بیوتیت مسکوویت لیکوگرانیت‌های مشهد ممکن است از نوع حد وسط و شماره  $3$  باشند؛ زیرا شواهد دگرگونی فشار بالای هم‌زمان با برخورد و دگرگونی دمای بالا پس از برخورد دیده نمی‌شود. بر اساس اندازه گیری‌های ژئوفیزیکی (Kunin et al., 1987)، پوسته قاره‌ای در ناحیه بین‌الول بین  $48$  تا  $50$  کیلومتر است. مقدار فلدسپار مونزو گرانیت کلسیمی-قلایی افزون بر سبزشده‌گی پوسته قاره‌ای، یک منشأ گرم‌ما از جهه را برای ذوب متابلیت‌ها و پسامیت‌ها در پوسته پیشنهاد می‌کند. رفتار ذوب دی‌هیدراسیون مسکوویت و بیوتیت در سنگ‌های متاپلیتی توسط تعدادی پژوهشگر مانند Le Breton and Thompson (1988), Thompson (1982), Peterson and Newton (1989), Vielzeuf and Holloway (1988), Patino-Douce and Johanston (1991), Holtz and Johannes (1991) و Gardien et al. (1995) بررسی شده است. مقدار و ترکیب مذاب تولید شده بستگی به عوامل‌های مختلفی دارد که از آن جمله می‌توان به ترکیب سنگ منشأ، حرارت، آب و فشار و فوگاسیته اکسیژن اشاره کرد. در کل، همه مذاب‌های تولید شده در ذوب بخشی کم غیر قابل تشخیص هستند (بیشتر فلیسیک پرآلومینوس) و بدون توجه به ماهیت پروتولیت، ممکن مقدار مذاب متفاوت باشد. حتی سنگ‌های متاآذرین متا آلومینوس قادراند که مذاب فلیسیک پرآلومینوس در شرایط ذوب بخشی کم و کمبود آب تولید کنند (Conrad et al., 1988; Beard et al., 1993; Beard and Lofgren, 1991; Patifio douce and Beard, 1995; Springer and Seck, 1997) و ترکیب اولیه سنگ منشأ با گذشت زمان در ذوب شرکت می‌کنند. مقدار  $\text{Mg}/\text{Ti}$  بیوتیت به طور مستقیم حد فاصل حرارت واکنش در بیوتیت را کنترل می‌کند. با افزایش این عناصر، حد فاصل حرارت واکنش افزایش می‌یابد.

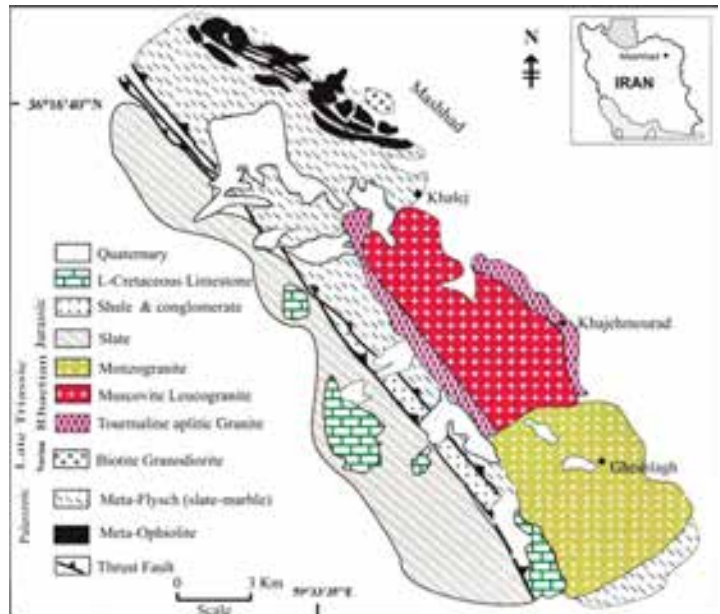
نمودار  $\text{Rb/Sr}-\text{Rb/Ba}$  (شکل ۱۴) نشان می‌دهد که نمونه‌های بیوتیت مسکوویت لیکوگرانیت در نزدیکی محدوده مذاب مشق شده از پسامیت‌ها قرار می‌گیرند. بر پایه بررسی‌های Sylvester (1998) مذاب مشق شده از پلیت‌ها نسبت  $\text{CaO}/\text{Na}_2\text{O}$  کمتری ( $<0/3$ ) از مذاب مشق شده از پسامیت‌ها ( $>0/3$ ) دارد. بیوتیت - مسکوویت لیکوگرانیت‌های مشهد با مقدار  $\text{CaO}/\text{Na}_2\text{O}$  تقریباً برابر با  $1/3-1$  و  $\text{Rb/Sr}=1/3$  و مقدار پلازیوکلاز سنگ منشأ بیش از  $5$  درصد و کمتر از  $15$  درصد، سنگ منشأی میان متاپلیت‌ها و پسامیت‌ها داشته‌اند.

مقدار عناصر لیکوگرانیت‌ها و فلدسپار مونزو گرانیت‌های مشهد با لیکوگرانیت‌های همیالیا و هرسینید مقایسه شد (جدول ۶). بیوتیت - مسکوویت لیکوگرانیت‌های مشهد مقدار بالاتر،  $\text{Sr}/\text{Ba}$  دارند (جدول ۶).

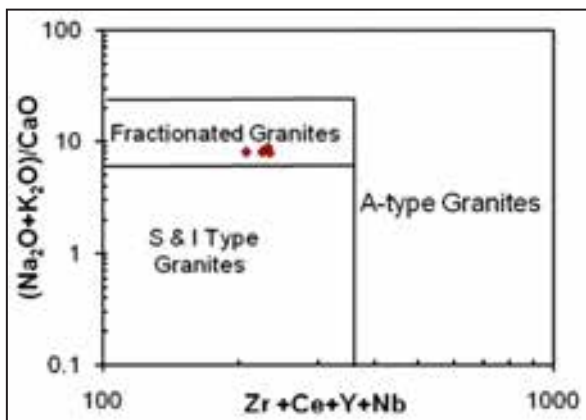
مقدار بالاتر  $\text{CaO}$  و  $\text{Sr}$  نشان می‌دهد که سنگ منشأ لیکوگرانیت‌های مشهد، پلازیوکلاز بیشتری در مقایسه با لیکوگرانیت‌های همیالیا و هرسینید داشته است.



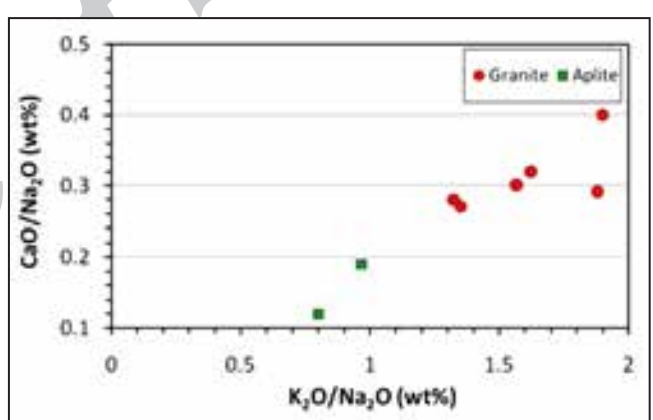
شکل ۲- مثلث آلبیت- ارتوکلاز- آنورتیت نشان می‌دهد که بیوتیت مسکوویت لیکوگرانیت در محیط گرانیت رسم شود (Barker, 1979)



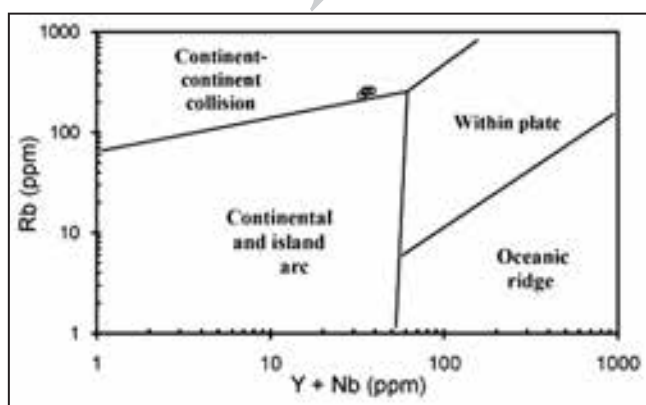
شکل ۱- موقعیت زمین‌شناسی بیوتیت مسکوویت لیکوگرانیت خواجه مراد (Karimpour, 2009)



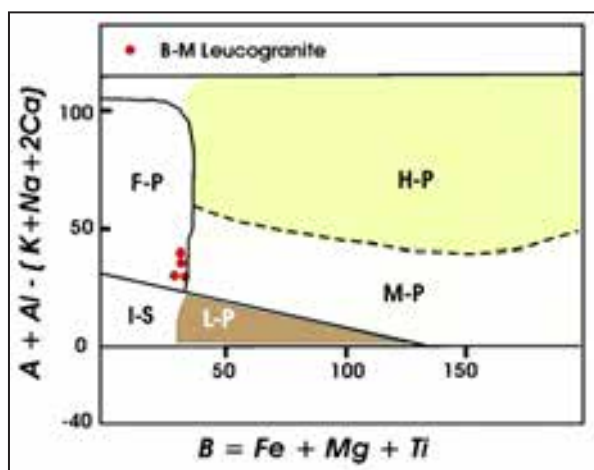
شکل ۴- رسم بیوتیت مسکوویت لیکوگرانیت در نمودار  $(Zr + Ce + Y + Nb)$  در برابر  $(Na_2O + K_2O)/CaO$  در محیط گرانیت تفرقی یافته (Whalen et al., 1987)



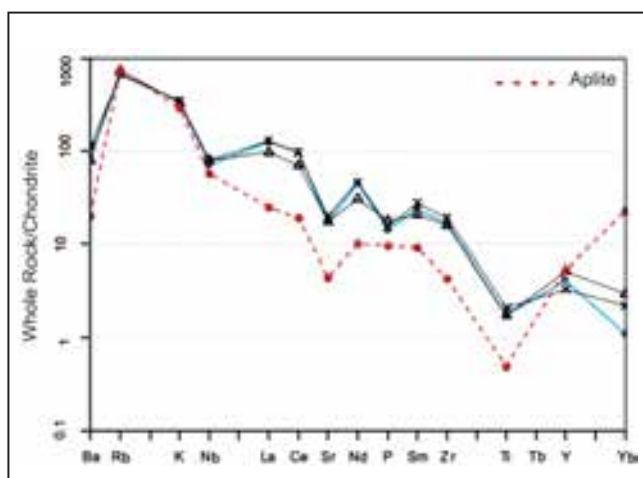
شکل ۳- رسم  $CaO/Na_2O$  در برابر  $K_2O/Na_2O$  برای بیوتیت مسکوویت لیکوگرانیت و آپلیت



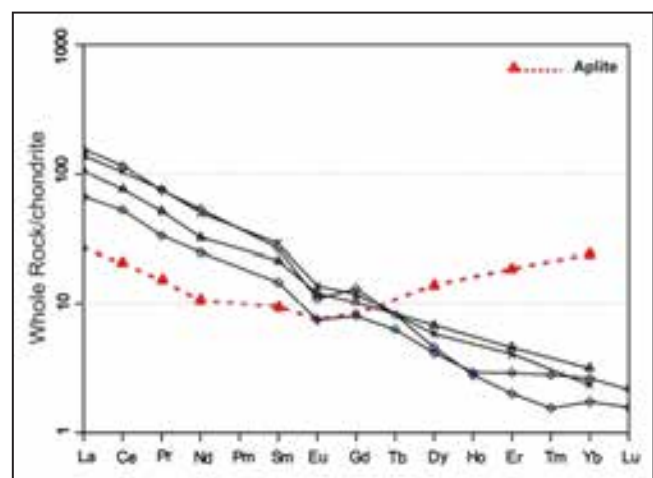
شکل ۶- بیوتیت مسکوویت لیکوگرانیت در نمودار Pearce et al. (1984) در محیط گرانیت‌های همزمان با برخورد رسم شده است



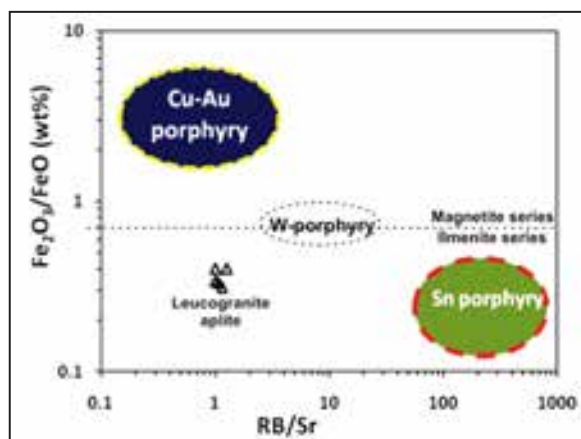
شکل ۵- بیوتیت مسکوویت لیکوگرانیت در بخش گرانیت‌بیدهای پرآلومینوس به شدت فاسیک رسم شده است (Villaseca et al., 1998). L-P=پرآلومینوس، H-P=متوسط پرآلومینوس، M-P=فلسیک پرآلومینوس، F-P=پرآلومینوس



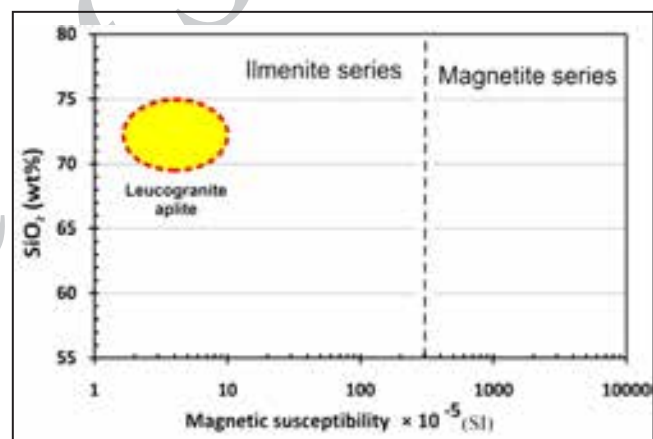
شکل ۸- الگوی بهنگارشده عناصر فرعی و برخی عناصر کمیاب خاکی بیوتیت مسکوویت لیکوگرانیت و آپلیت نسبت به کندریت (مقادیر کندریت از Thompson, 1982)



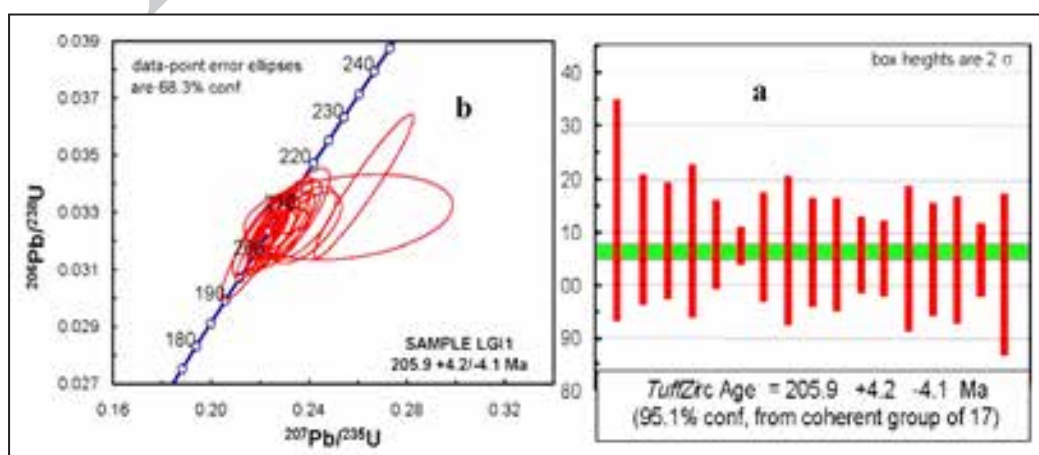
شکل ۷- الگوی بهنگارشده عناصر کمیاب خاکی بیوتیت مسکوویت لیکوگرانیت و آپلیت نسبت به کندریت (مقادیر کندریت از Boynton, 1984)



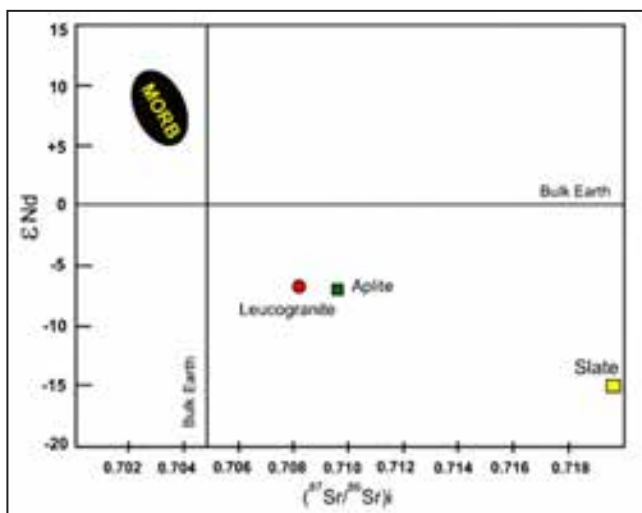
شکل ۱۰- نمودار  $\text{Fe}_2\text{O}_3/\text{FeO}$  در برابر  $\text{Rb}/\text{Sr}$  نشان می دهد که هر دو نسبت در بیوتیت مسکوویت لیکوگرانیت پایین است (Karimpour, 2009).



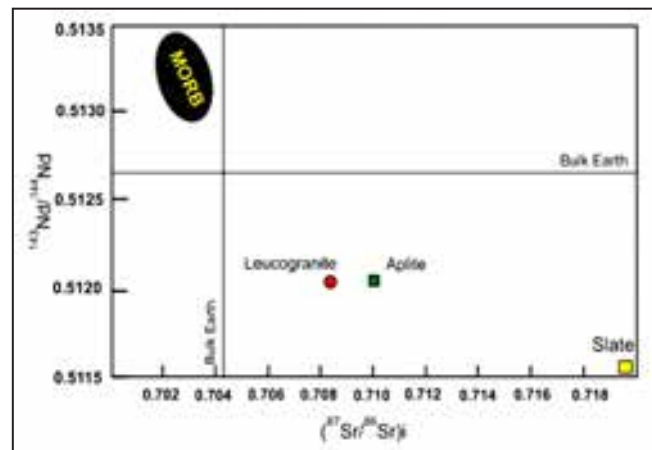
شکل ۹- نمودار پذیرفتاری مغناطیسی نسبت به مقدار سیلیس نشان می دهد که بیوتیت مسکوویت لیکوگرانیت وابسته به سری ایلمنیت است (Karimpour, 2009).



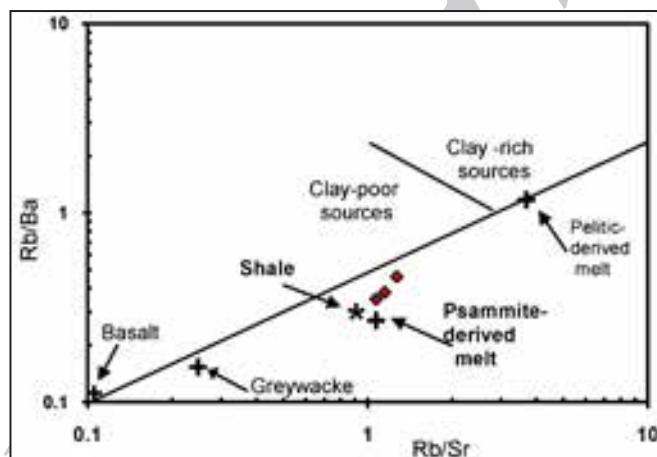
شکل ۱۱- (a) گرافیک TuffZirc برای محاسبه سن زیرکن ها (بیوتیت مسکوویت لیکوگرانیت). (b) رسم کنکردیا  $^{207}\text{Pb}/^{235}\text{U}$  در برابر  $^{206}\text{Pb}/^{238}\text{U}$  برای محاسبه سن زیرکن ها (Karimpour, 2009).



شکل ۱۳- رسم مقدار  $\epsilon_{\text{Nd}}$  در برابر  $^{87}\text{Sr}/^{86}\text{Sr}$  (Karimpour, 2009)



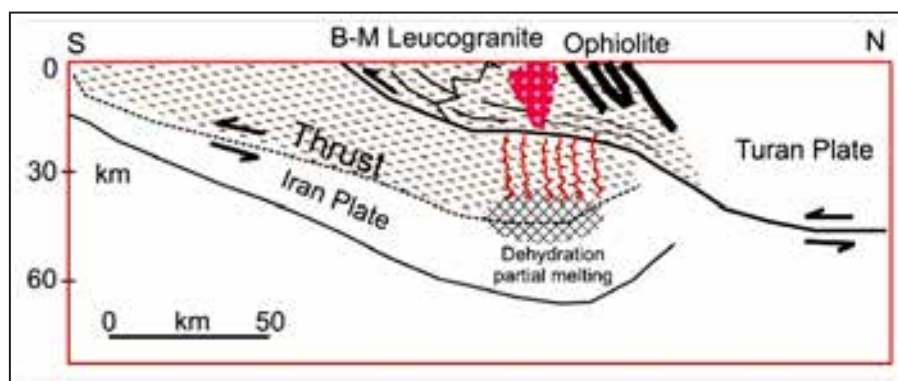
شکل ۱۴- رسم مقدار  $^{143}\text{Nd}/^{144}\text{Nd}$  در برابر  $^{87}\text{Sr}/^{86}\text{Sr}$  (Karimpour, 2009)



شکل ۱۵- نمودار  $\text{Rb/Sr}$  در برابر  $\text{Rb/Ba}$  (Sylvester, 1998)

- نشان می‌دهد که دیوریت-

گرانودیوریت‌ها نزدیک محیط گریوک رسم شده‌اند.



شکل ۱۶- نمادین از ژرفه و مرحله تشکیل لیکوگرانیت مشهد (خواجه مراد)

جدول ۱- نتایج تجزیه عناصر اصلی و فرعی بیوتیت مسکوویت لیکوگرانیت و آپلیت و نورم آنها

(Karimpour,2009)

Oxides %	MG-1 Granite	MG-3 Granite	MG-4 Granite	MG-B Granite	Lgi-2 Granite	Lgi-1 Granite	AG-1 Aplite	AG-2 Aplite
$\text{SiO}_2$	73/77	72/64	72/48	72/39	70/14	70/92	73/62	74/27
$\text{TiO}_2$	0/18	0/18	0/21	0/22	0/25	0/16	0/6	0/5
$\text{Al}_2\text{O}_3$	14/45	14/52	14/81	14/91	14/98	14/18	14/88	14/77
$\text{Fe}_2\text{O}_3$	0/14	0/42	0/4	0/34	0/6	0/7	0/20	0/15
FeO	1/0.8	1/0.3	1/21	1/99	1/2	1/95	0/0.5	0/55
MnO	0/0.3	0/0.4	0/0.3	0/1.4	0/0.5	0/1.6	0/1.4	0/1.4
MgO	0/3.5	0/3.3	0/2.5	0/2.9	0/1.8	0/2.9	0/2.3	0/1.6
CaO	1	1/0.3	1/0.4	0/9.8	1/1.2	0/9.7	0/0.6	0/8.3
$\text{Na}_2\text{O}$	3/7.0	3/5.7	3/2	3/2.3	3/0.	3/26	3/9.1	3/3.7
$\text{K}_2\text{O}$	5/0.9	4/7.7	5/1.9	5/0.3	6/66	6/16	3/2.2	4/2.4
$\text{P}_2\text{O}_5$	0/1.0	0/1.9	0/1.8	0/1.6	0/1.4	0/1.0	0/1.7	0/1.0
$\text{H}_2\text{O}$ (+)	0/1.8	0/1.8	1/1.4	1/0.9	0/1.7	1/1.0	1/1.3	0/0.6
$\text{H}_2\text{O}$ (-)	0/1.2	0/1.2	0/1.8	0/1.9	0/1	0/1.2	0/1.8	0/2.2
Total	100/0.51	99/6.8	99/4.9	99/4.6	99/8.2	99/6	99/4.6	100/3.1
Q	29/4.2	31/1	31/1.6	32/2.1	25/1	21/2.4	31/3.9	30/7.3
C	1/3.6	2/0	2/4.6	2/4.8	0/6	0/11	2/9.5	1/7.7
Or	30/1.9	28/5.6	31/11	30/2.5	36/4	39/3.6	22/2.6	25/1.6
Ab	31/4.2	30/6	27/4.6	27/8.1	27/5.6	28/7.7	39/5.1	36/7.9
An	4/0.9	4/0.4	4/1.6	3/9.9	4/1.5	5/6.4	1/8	3/5.4
Hy	2/1.6	2/1.7	2/2.0	2	3/4	2/3.3	1/6	1/4.7
Mt	0/1.9	0/6.2	0/5.9	0/5	1/0.2	0/1.8	0/2.9	0/2.2
Il	0/1.4	0/1.5	0/4.0	0/4.3	0/3	0/1.7	0/1.2	0/1
Ap	0/3.6	0/4.6	0/1.3	0/1.9	0/2.3	0/1.3	0/1	0/2.4
D.I.	91/6.0	90/3.6	89/7.3	90/2.7	90/2.5	90/1	90/2.7	93/1.6
C.I.	29/6.2	28/8.1	27/7.4	31/1.0	28/9.5	30/1	31/1.0	49/9.6

ppm

Sn	V	-	V	-	As	10	-	14
Rb	223/4	261/3	253/9	239/6	242	265	239/6	265/1
Sr	20/4.8	20/5.0	226/4	226	228	226	53	
Ba	911	556	70.8	771	389	925	771	118
Nb	25/2	27/9	26/5	28/7	22/7	22/8	28/7	20/4
Zr	110	1.9	132	130	68	124	130	30
Ga	18	20	22	19	-	-	8	5
Sc	1/1.85	1/1.83	-	2/21	-	-	2/21	-
Rb/Sr	1/15	1/27	1/0.7	1/0.1	1/45	1/16	1/0.1	5
Rb/Ba	0/3.8	0/4.6	0/3.5	0/3.1	0/62	0/42	0/31	1/92
Sr/Ba	0/3.85	0/3.69	0/2.23	0/3	0/43	0/36	0/30.6	0/28.4

جدول ۳- اطلاعات تجزیه U-Pb بر روی زیرکن های نمونه بیوتیت مسکوویت لیکوگرانیت (Karimpour,2009)

analysis	U (ppm)	$^{206}\text{Pb}/^{204}\text{Pb}$	U/Th	$^{206}\text{Pb}/^{207}\text{Pb}$	$\pm$ (%)	$^{207}\text{Pb}/^{235}\text{U}$	$\pm$ (%)	$^{206}\text{Pb}/^{238}\text{U}$	$\pm$ (%)	Age (My)	$\pm$ (%)
1	80.4	261.24	3/2	19/49.2	2/1	0/2321	2/3	0/0.327	0/9	20.7/3	1/7
2	144.2	194.9	4/4	18/99.19	3	0/2370	3/9	0/0.326	2/8	20.7/1	5/2
3	97.6	276.88	10/1	18/75.46	3/2	0/2387	4/1	0/0.325	2/5	20.5/9	5/1
4	10.38	168.04	11/1	19/99.84	1/3	0/2225	3/6	0/0.323	3/4	20.4/7	6/9
5	10.28	276.80	7/1	19/65.62	1/7	0/2281	3/8	0/0.325	3/5	20.6/3	7
6	91.9	4.516	10/18	20/1564	1/9	0/220.5	3/5	0/0.322	3	20.4/5	9
7	75.2	186.4	19/9	19/30.25	1/7	0/2314	3/1	0/0.324	2/7	20.5/5	5/4
8	63.7	553.44	20/18	20/0.716	1/9	0/2184	4/3	0/0.318	3/8	20.1/8	7/6
9	127.3	456.60	7/2	19/3315	2/2	0/2228	3/5	0/0.328	2/7	20.8/1	5/5
10	146.0	133.88	0/9	19/3912	2/8	0/2322	4/3	0/0.328	3/5	20.8	7/1
11	123.9	176.92	7/7	17/68.08	10/6	0/2561	11	0/0.328	3	20.8/3	6/1
12	10.05	364.26	9/3	19/3470	2/9	0/2290	3/2	0/0.323	1/8	20.5/7	3/6
13	69.2	307.76	19	19/6779	2/4	0/2292	3/2	0/0.327	2/1	20.7/5	4/2
14	82.4	254.24	13/5	19/730.2	1/8	0/2253	3/2	0/0.322	2/6	20.4/6	5/3
15	10.53	217.292	8/6	19/70.82	2	0/2252	2/7	0/0.322	1/7	20.4/8	3/5
16	77.9	141.780	5/9	19/930.2	1/8	0/2229	2/4	0/0.324	1/8	20.5/3	3/9

جدول ۴- نتایج تجزیه ایزوتوپ Rb-Sr برای بیویت مسکوویت لیکوگرانیت و آپلیت (Karimpour, 2009)

Sample	AGE (ma)	Rb (ppm)	Sr (ppm)	$^{87}\text{Rb}/^{86}\text{Sr}$	$(^{87}\text{Sr}/^{86}\text{Sr})\text{m} (2\sigma)$	$(^{87}\text{Sr}/^{86}\text{Sr})\text{i R0(Sr)}$
AG-2 aplite	205	210/5	108	5/9155	-0.72622 (+)	-0.709853
MG-1 leucogranite	205	235/4	149	4/5695	-0.72148 (1)	-0.708161
Slate	205	149	74/8	5/7365	-0.73701 (1)	-0.72287

m= measured. Errors are reported as  $2\sigma$  (95% confidence limit).

R0(Sr) is the initial ratio of  $^{87}\text{Sr}/^{86}\text{Sr}$  for each sample, calculated using  $^{87}\text{Rb}/^{86}\text{Sr}$  and  $(^{87}\text{Sr}/^{86}\text{Sr})\text{m}$  and an age of 205 (age based on zircon).

جدول ۵- نتایج تجزیه ایزوتوپ Sm-Nd برای بیویت مسکوویت لیکوگرانیت و آپلیت (Karimpour, 2009)

Sample	Sm ppm	Nd ppm	$^{147}\text{Sm}/^{144}\text{Nd}$	$(^{143}\text{Nd}/^{144}\text{Nd})\text{m} (2\sigma)$	$(^{143}\text{Nd}/^{144}\text{Nd})\text{i R0(Nd)}$	$\epsilon\text{Nd I}$
AG-2 aplite	2/99	11/6	-0.1407	-0.512213 (12)	-0.512024	-6/83
MG-1 Leucogranite	3/18	15	-0.1282	-0.512214 (12)	-0.512024	-6/48
Slate	8/20	44/4	-0.1116	-0.511748 (+7)	-0.511598	-15/14

m= measured. Errors are reported as  $2\sigma$  (95% confidence limit).

R0(Nd) is the initial ratio of  $^{143}\text{Nd}/^{144}\text{Nd}$  for each sample, calculated using  $^{147}\text{Sm}/^{144}\text{Nd}$  and  $(^{143}\text{Nd}/^{144}\text{Nd})\text{m}$  and an age of 205 (age based on zircon).  $\epsilon\text{NdI}$ = initial  $\epsilon\text{Nd}$  value.

جدول ۶- مقدار عناصر فرعی لیکوگرانیت های مشهد، هیمالیا و هرسینید. هیمالیا از (1998) Harris and Inger (1992); Sylvester

Karimpour (2009) Azevedo and Nolan (1998); Sylvester (1998) و مشهد از (1998) هرسینید از (1998)

	Mashhad Leucogranite	Himalayas Leucogranite	Hercynides Leucogranite
Rb (ppm)	261-235	370-220	450-290
Sr (ppm)	236-204	125-97	90-30
Ba (ppm)	771-550	375-190	400-210
Rb/Sr	1/22-1	3/3-2/9	9-5
Rb/Ba	0.38-0.35	1/20-0.95	1/3-1/1
Sr/Ba	0.38-0.33	0.35-0.3	0.2-0.14
$\text{Al}_2\text{O}_3/\text{TiO}_2$	8-7	28-9	21-2
$\text{CaO}/\text{Na}_2\text{O}$	0.32-0.27	0.15-0.14	0.11-0.18
CaO	1/0.3-1	0.86-0.58	0.78-0.55
MgO	0.35-0.25	0.20-0.14	0.37-0.14
$\text{FeO}_t$	1/61-1/45	0.90-0.75	1/5-0.65
$\text{Na}_2\text{O}$	4/6-3/2	4/62-3/88	3/72-3/2
$\text{K}_2\text{O}$	4/77-5/19	4/19	5-4/48
$\text{TiO}_2$	0.22-0.18	0.13-0.09	0-22
$\text{K}_2\text{O}/\text{Na}_2\text{O}$	1/62-1/33	1/28-0.91	1/5-1/2
$\text{K}_2\text{O}/(\text{Na}_2\text{O}+\text{CaO})$	1/22-1	1-0/A	1-1/1

## References

- Abbasi, H., 1998- Petrology of regional and contact metamorphic rocks south of Mashhad, M.Sc. thesis. Tehran University.
- Alavi, M., 1979- The Virani ophiolite complex and surrounding rocks, Geology randsch 68: 334-341.
- Alavi, M., 1991- Sedimentary and structural characteristics of the Paleo-Tethys remnants in northeastern Iran, Geological Society of America Bulletin 103, 8: 983-992.
- Alavi, M., 1992- Thrust tectonics of the Binaloud region; NE Iran, Tectonics 11, 2: 360-370.
- Alberti, A. & Moazez, Z., 1974- Plutonic and metamorphic rocks of the Mashhad area (northeastern Iran, Khorasan), Boll. Soc. Geol. Italy 93: 1157-1196.
- Alberti, A., Nicoletti, M. & Petrucciani, C., 1973- K-Ar Ages of micas of Mashhad granites, Period Miner. 42: 483-493.
- Azevedo, M. R. & Nolan J., 1998- Hercynian late-post-tectonic granitic rocks from the Fornos de Algodres area Northern Central Portugal, Lithos 44: 1-20
- Barker, F., 1979- Trondhjemite: definition, environment and hypotheses or origin, In Barker, F. (ed) Trondhjemites, dacites, and related rocks, 1-12 New York: Elsevier.
- Beard, J. S. & Lofgren, G. E., 1991- Dehydration melting and water-saturated melting of basaltic andesitic greenstones and amphibolites at 1, 3, and 6.5 kb, Journal of Petrology 32: 365-401.
- Beard, J. S., Abitz, R. J. & Lofgren, G. H., 1993- Experimental melting of crustal xenoliths from kilbourne Hole, New Mexico and implication for the contamination and genesis of magmas, Contribution to Mineralogy and petrology 115: 88-103.
- Behrmann, J., Drozdowski, G., Heinrichs, T., Huch, M., Meyer, W. & Oncken, O., 1991- Crustal-scale balanced cross sections through the Variscan fold belt, Germany: the central EGT-segment, Tectonophysics 142: 173-202.

- Boynton, W. V., 1984- Cosmochemistry of the rare earth elements; meteorite studies, In: Rare earth element geochemistry. Henderson, P. (Editors), Elsevier Sci. Publ. Co., Amsterdam: 63-114.
- Castro, A., Guillermog, L., Corretge, G., El-Baid, M., El-Hmid, H., Fernanadez, C. & Patin~o-Douce, A. E., 2000- Experimental Constraints on Hercynian Anatexis in the Iberian Massif, Spain, *Journal of Petrology* 41: 1471-1488.
- Chappell, B. W. & White, A. J. R., 1974- Two contrasting granite types, *Pacif Geol.* 8: 173-174.
- Conrad, W. K., Nicholls, I. A. & Wall, V. J., 1988- Water-saturated and undersaturated melting of meta-aluminous and per-aluminous crustal compositions at 10 kb: evidence for the origin of silicic magmas in the Taupo volcanic zone, New Zealand, and other occurrences, *Journal of Petrology* 29: 765-803.
- Davoudzadeh, M. & Schmidt, K., 1984- Plate tectonics, orogeny, and mineralization in the Iranian fold belts, report of a German-Iranian research program 1977-19. *Neues Jahrbuch fuer Geologie und Palaeontologie. Abhandlungen.* 168, 2-3: 182-207.
- DeBon, F., Le Fort, P., Sheppard, S. M. F. & Sonet, J., 1986- The four plutonic belts of the Transhimalaya-Himalaya: a chemical, mineralogical, isotopic, and chronological synthesis along a Tibet- Nepal section, *Journal of Petrology* 27: 219-250.
- Didier, J. & Lameyre, J., 1969- Les granites du Massif Central Franais. Etude comparee des leicogranites et granodiorites, *Contributions to Mineralogy and Petrology* 24: 219-238.
- Eftekharnazhad, J. & Behrooz, A., 1989- Geodynamic and significance of recent discoveries of ophiolite and Late Paleozoic rocks in Ne Iran (including Kopet Dogh), Geological Survey of Iran, internal report, 21 p.
- Fakhr, M. S., 1977- Contribution a l'etude de la flore Rheto- liasique De la formation de Shemshak de l'Elbourz (Iran), C.T.H.S. Mem. Sect. Sci, Bibliotheque Nationale Paris, no. 5, 178p.
- Gardien, V., Thompson, A. B., Grujic, D. & Ulmer, P., 1995- Experimental melting biotite + quartz Muscovite assemblages and implications for crustal melting. *Journal of Geophysical Research* 100, B8: 15581-15591.
- Gebauer, D., Schertl, H. P., Brix, M. & Schreyer, W., 1997- 35 Ma old ultrahigh-pressure metamorphism and evidence for very rapid exhumation in the Dora Maira Massif. West. Alps, *Lithos* 41: 5-24.
- Gehrels, G. E. & Valencia, V., 2006- A. Pullen in Geochronology: Emerging Opportunities, ed. T. Loszewski and W. Huff, Paleo. Soc. Pap., 12, 2006: 67-76.
- Ghazi, M., Hassanipak, A. A., Tucker, P. J. & Mobasher, K., 2001- Geochemistry and  $^{40}\text{Ar}$ - $^{39}\text{Ar}$  ages of the Mashhad Ophiolite, NE Iran, abstracts as: *Eos. Trans. AGU*, 82(47), Fall Meet.
- Harris, N. B. W. & Inger, S., 1992- Trace element modeling of pelitic-derived granites, *Contributions to Mineralogy and Petrology* 110: 46-56.
- Harris, N. B. W. & Massey, J., 1994- Decompression and anatexis of Himalayan metapelites, *Tectonics* 13: 1537-1546.
- Holtz, F. & Johannes, W., 1991- Genesis of peraluminous granites I. Experimental investigation of melt compositions at 3 and 5 kbar and various  $\text{H}_2\text{O}$  activities, *Journal of Petrology* 32: 935-58.
- Holtz, F. & Barbey, P., 1991- Genesis of peraluminous granites II. Mineralogy and chemistry of the Tourem Complex (North Portugal). Sequential melting vs. restite unmixing, *Journal of Petrology* 32: 959-978.
- Inger, S. & Harris, N., 1993- Geochemical constraints on leucogranite magmatism in the Langtang Valley, Nepal Himalaya, *Journal of Petrology* 34: 345-368.
- Iranmanesh, J. & Sethna, S. F., 1998- Petrography and geochemistry of the Mesozoic granite at Mashhad, Khorasan Province, northeastern part of Iran, *Journal of the Geological Society of India* 52: 1, 87-94.
- Ishihara, S., 1977- The magnetite-series and ilmenite-series granitic Rocks, *Mining Geology* 27: 293-305
- Jarchovski, T., Momenzadeh, M., Tadayon, A. & Ziegler, V., 1973- Mineral reconnaissance in Mashhad Quadrangle, *Geol. Surv. Of Iran*. P. 192.
- Karimpour, M. H., 2009- Rb-Sr and Sm-Nd Isotopic Composition, U-Pb-Th (zircon) Geochronology and Petrogenesis of Mashhad Paleotethys granitoids, Ferdowsi University of Mashhad, Iran (grant P/742-87/7/14).
- Khatonie Molayossefi, M., 2000- The study of stratigraphy and plants fossils of Shemshak formation in Shandiz area, M.S thesis. 222p
- Kunin, N. et al., 1987- Map of depth to Moho, Moscow, Institute of Physics of the Earth.
- Le Breton, N. & Thompson, A. B., 1988- Fluid-absent (dehydration) melting of biotite in metapelites in the early stages of crustal anatexis, *Contributions to Mineralogy and Petrology* 99: 226-237.
- Le Fort, P., Michard, A., Sonet, J. & Zimmerman, J. L., 1983- Petrography, geochemistry and geochronology of some samples from the Karakorum axial batholith (Northern Pakistan), In: Shams, F.A. (Ed.), *Granites of the Himalayas, Karakorum and Hindukush*. Inst. of Geology, Punjab Univ., Lahore: 377-387.
- Majidi, B., 1981- The ultrabasic lava flows of Mashhad, North East Iran, *Geological Magazine* 118, 1: 49-58.
- Majidi, B., 1983- The geochemistry of ultrabasic and basic lava flows occurrences in northeastern Iran, In Geodynamic project in Iran, Geological Survey of Iran Report No. 51: 463-477.
- Miller, J. M., 1985- Are strongly peraluminous magmas derived from pelitic sedimentary sources, *Journal of Geology* 93: 673-689.
- Mirnejad, H., 1991- geochemistry and petrography of Mashhad granites and pegmatites, M.Sc. thesis, Tehran University. [www.SID.ir](http://www.SID.ir)

- Moazez Lesco, Z. & Plimer, I. R., 1979- Intrusive and polymetamorphic rocks of the Darakht-Bid area, near Mashhad, Iran, *Geologische Rundschau*. 68, 1: 318-333.
- Pamic, J., Lanphere, M. & Belak, M., 1996- Hercynian I-type and S-type granitoids from the Slavonian mountains (southern Pannonian Basin, northern Croatia), *N. Jb. Mineral. Abh.* 171: 155-186
- Patino-Douce, A. E. & Beard, J. S., 1995- Dehydration-melting of biotite gneiss and quartz amphibolites from 3 to 15 kbar, *Journal of Petrology* 36: 707-738.
- Patino-Douce, A. E. & Harris, N., 1998- Experimental constraints on Himalayan anatexis, *Journal of Petrology* 39: 689- 710.
- Patino-Douce, A. E. & Johnston, D. A., 1991- Phase equilibria and melt productivity in the pelitic system: implication for the origin of peraluminous granitoids and aluminous granulites, *Contribution to Mineralogy and Petrology* 107: 202-18.
- Pearce, J. A., Harris, N. B. W. & Tindle, A. G., 1984- Trace element discrimination diagrams for the tectonic interpretation of granitic rocks, *Journal of Petrology* 25 (4): 956-983.
- Peterson, J. W. & Newton, R. C., 1989- Reversed experiments on biotite-quartz-feldspar melting in the system KMASH: implications for crustal anatexis, *Journal of Geology* 97: 465-486.
- Petford, N. & Atherton, M., 1996- Na-rich partial melts from newly underplated basaltic crust: the Cordillera Blanca Batholith, Per. *Journal of Petrology* 37: 1491-1521.
- Phillips, G. N., Wall, V. J. & Clemens, J. D., 1981- Petrology of the Strathbogie batholith: a cordierite-bearing granite, *Canadian Mineralogist* 19: 47-63.
- Robinson, P., Higgins, N. C. & Jenner, G., 1986- Determination of rare-earth elements, Yttrium and Scandium in rocks by using an ion exchange-X-Ray Fluorescence technique. *Chemical Geology* 55: 121-137
- Rottura, A., Del Moro, A., Pinarelli, L., Petrini, R., Caggianelli, A., Bargossi, G. M. & Piccarreta, G., 1991- Relationships between intermediate and acidic rocks in orogenic granitoid suites: petrological, geochemical and isotopic (Sr, Nd, Pb) data from Capo Vaticano (southern Calabria, Italy), *Chem. Geol.* 92: 153-176
- Searle, M. P., Parrish, R. R., Hodges, K.V., Hurford, A., Ayres, M.W. & Whitehouse, M. J., 1997- Shisha Pangma leucogranite, south Tibetan Himalaya. field relations, geochemistry, age, origin, and emplacement, *J. Geol.* 105: 295-317
- Shearer, C. K., Papike, J. J., Redden, J. A., Simon, S. B., Walker, R. J. & Laul, J. C., 1987- Origin of pegmatitic granite segregations, Willow Creek, Black Hills, South Dakota, *Canadian Mineralogist* 25: 159-171.
- Springer, W. & Seck, H. A., 1997- Partial fusion of basic granulites at 5 to 15 kbar: implication for the origin of TTG magmas, *Contribution to Mineralogy and Petrology* 127: 30-45.
- Stampfli, G. M. & Pillevuit, A., 1993- An alternative Permo-Triassic reconstruction of the kinematics of the Tethyan realm, In: J. Dercourt, L.-E. Ricou and B. Vrielinck (Eds.), *Atlas Tethys Palaeoenvironmental Maps. Explanatory Notes*. Gauthier-Villars Paris: 55-62.
- Stampfli, G. M., 1996- The Intra-Alpine terrain: a Paleo-Tethyan remnant in the Alpine Variscides, *Elogiae geol. Helv.* 89 (1): 13-42.
- Stampfli, G. M., 2000- Tethyan oceans, In: E. Bozkurt, J.A. Winchester and J.D.A. Piper (Eds.), *Tectonics and magmatism in Turkey and surrounding area*. Geological Society of London, Special Publication 173: 163-185.
- Stampfli, G. M., 2002- Opening and closure of Paleo-Tethys in Iran, Personal communication.
- Stampfli, G. M., Marcoux, J. & Baud, A., 1991- Tethyan margins in space and time, In: J.E.T. Channell, E.L. Winterer and L.F. Jansa (Eds.), *Paleogeography and paleoceanography of Tethys. Palaeogeography, Palaeoclimatology, Palaeoecology* 87: 373-410.
- Stocklin, J., 1974- Possible ancient continental margins in Iran, *The Geology of Continental margins*, Edited by C.A. Burk & C.L. Drake: 873-887.
- Sylvester, P. J., 1998- Post-collisional strongly peraluminous granites, *Lithos* 45, Issue 1-4: 29-44.
- Thompson, A. B., 1982- Dehydration melting of pelitic rocks and the generation of  $H_2O$ -undersaturated granitic liquids, *American Journal of Science* 282: 1567-1595.
- Turner, S., Arnaud, N., Liu, J., Rogers, N., Hawkesworth, C., Harris, N., Kelley, S., Van Calsteren, P. & Deng, W., 1996- Post-collision, shoshonitic volcanism on the Tibetan Plateau: implications for convective thinning of the lithosphere and the source of ocean island basalts, *Journal of petrology* 37: 45-71.
- Valizadeh, M. & Karimpour, M. H., 1995- Origin and tectonic setting of Mashhad granitoids, *Journal of Sciences, University of Tehran* 21, No. 1: 71-82.
- Venturelli, G., Thorpe, R. S. Dal Piaz, G. V., Del Moro, A. & Potts, P. J., 1984- Petrogenesis of calc-alkaline, shoshonitic and associated ultrapotassic Oligocene volcanic rocks from the Northwestern Alps, Italy, *Contribution to Mineralogy and Petrology* 86: 209-220.
- Vielzeuf, D. & Holloway, J. R., 1988- Experimental determination of the liquid-absent melting relations in the pelitic system. Consequences for crustal differentiation, *Contribution to Mineralogy and petrology* 98: 257-76.
- Villaseca, C., Barbero, L. & Herreros, V., 1998- A re-examination of the typology of peraluminous granite types in intra continental orogenic belts, *Transaction of the Royal Society of Edinburgh; Earth Sciences* 89: 113-119.
- Whalen, J. B., Currie, K. L. & Chappell, B. W., 1987- A-type granites. geochemical characteristics, discrimination and petrogenesis, *Contributions to Mineralogy and Petrology* 95: 407-419.